

ساخت و تعیین خصوصیت سلول نوترکیب Tim^۳ با بیان بالای HEK۲۹۳T

مونا مبلغ ناصری^۱, دکتر حسین خان‌احمد^۲, ویدا همایونی^۳, دکتر مزدک گنجعلی خانی حاکمی^۴, دکتر منصور صالحی^۵, ایلنار رحیم‌منش^۱, راضیه تقی‌زاده^۱, مهسا کلاهدوز^۱

مقاله پژوهشی

چکیده

مقدمه: گلیکوپروتئین Tim^۳ (T-cell immunoglobulin and mucin domain^۳) یکی از نشانگرهای سطح سلولی سلول‌های Th1 (T helper) است که در بسیاری از بیماری‌های مرتبط با سیستم ایمنی، تعییر بیان دارد. این مطالعه، با هدف بررسی و افزایش بیان پروتئین Tim^۳ در سطح سلول ۲۹۳T انجام شد.

روش‌ها: کاست بیانی Tim^۳ از روی پلاسمید EX-W2682-M67 با استفاده از پرایمرهای دارای جایگاه آنزیمی NheI و MluI تکثیر و در جایگاه‌های مربوط در پلاسمید pHygro سبب کلون شد. پلاسمید نوترکیب محتوی زن Tim^۳ (pH-Tim^۳) پس از استخراج و خالص‌سازی، با آنزیم NheI خطی شد و در سلول‌های ۲۹۳T با استفاده از روش کلسمیم فسفات تراسفکت شد. سپس سلول‌های نوترکیب Tim^۳ بیان کننده Tim^۳ در PCR محیط حاوی هیکروماسین انتخاب مثبت شدند. پس از یک ماه بر روی DNA ژنومیک کلون‌های سلولی باقی‌مانده، واکنش PCR (Polymerase chain reaction) به منظور بررسی ادغام cDNATim^۳ (Complementary DNA) در زنوم سلول ۲۹۳T انجام شد. همچنین میزان بیان پروتئین Tim^۳ در سطح سلول به روش فلوسایوتومتری ارزیابی گردید.

یافته‌ها: نتایج هضم آنزیمی با آنزیمهای NheI و MluI بر روی پلاسمید p-H-Tim^۳ باند ۲۳۱۲ و ۴۶۰۰ جفت بازی را نشان داد که تأیید کنندهٔ صحت کلونینگ است. در واکنش PCR بر روی DNA ژنومیک، باند ۱۱۰۰ جفت بازی تکثیر شد که نشانهٔ وجود زن Tim^۳ در زنوم سلول ۲۹۳T می‌باشد. همچنین در فلوسایوتومتری، ۸۸ درصد سلول‌ها از نظر بیان Tim^۳ مثبت بودند و شدت بیان در قسمت زیادی از سلول‌ها بالا بود.

نتیجه‌گیری: بیان پروتئین در سیستم‌های بیانی پروکاریوت‌ها از نظر زمان و هزینه بهتر از سیستم‌های یوکاریوتی است، اما در مورد پروتئین‌های دارای تغییرات پس از ترجمه، این سیستم بیانی جوانگو نیست. در برخی موارد ساختار فضایی طبیعی پروتئین در موقع لنگر انداختن بر سطح غشاء، در تولید پروتئین‌های غشایی مانند Tim^۳ در سیستم‌های یوکاریوتی، حفظ نمی‌شود. در نتیجه، برای استفاده در تحقیقات تهیهٔ آنتی‌بادی‌هایی که ابی‌توب‌های فضایی را می‌شناسند و یا انتخاب آپتامر، مناسب نمی‌باشند. بیان پروتئین Tim^۳ در سطح سلول، می‌تواند ارایه دهندهٔ پروتئین با ساختار فضایی طبیعی در پروژه‌های تولید آنتی‌بادی، نانوبادی و آپتامر باشد.

وازگان کلیدی: Tim^۳, سلول نوترکیب, T-cell immunoglobulin and mucin domain

ارجاع: مونا مبلغ ناصری، خان‌احمد حسین، همایونی ویدا، گنجعلی خانی حاکمی مزدک، صالحی منصور، رحیم‌منش ایلنار، تقی‌زاده راضیه، کلاهدوز مهسا. ساخت و تعیین خصوصیت سلول نوترکیب Tim^۳ با بیان بالای HEK۲۹۳T. مجله دانشکده پزشکی اصفهان. ۱۳۹۳؛ ۳۲: ۱۱۷-۲۲۱۲-۲۲۲۳.

۱- دانشجوی کارشناسی ارشد، گروه ژنتیک و زیست‌شناسی مولکولی، دانشکده‌ی پزشکی و کمیته تحقیقات دانشجویی، دانشگاه علوم پزشکی اصفهان، ایران

۲- استادیار، گروه ژنتیک و زیست‌شناسی مولکولی، دانشکده‌ی پزشکی، دانشگاه علوم پزشکی اصفهان، ایران

۳- دانشجوی دکتری، گروه ایمنی شناسی، دانشکده‌ی پزشکی، دانشگاه علوم پزشکی اصفهان، ایران

۴- استادیار، گروه ایمنی شناسی، دانشکده‌ی پزشکی، دانشگاه علوم پزشکی اصفهان، ایران

نویسنده‌ی مسؤول: دکتر حسین خان‌احمد

Email: hossein_khanahmad@yahoo.com

دندریتیک‌های انسانی که فاگوسیتوz سلول‌های آپوپتیک و عرضه‌ی متقاطع به آنتیژن‌ها را واسطه‌گری می‌کنند نیز مشاهده شده است (۵).

Tim^۳ به عنوان گیرنده‌ی ویژه در سطح سلول‌های Th1 به لیگاند خود galectin^۹ (galectin^۹) باند IFN γ , Th1 می‌شود. سلول‌های APC (Interferon gamma) تولید می‌کنند و باعث افزایش APC بیان galectin^۹ در سطح سلول‌های Antigen presenting cell (Antigen presenting cell) می‌شوند که در پی آن، مرگ سلولی در سلول‌های Tim^{۳+} Th1 ایجاد می‌شود (۶, ۷). علاوه بر galectin^۹, لیگاند دیگری که به تازگی در تعامل با Tim^۳ تعریف شده است، فسفاتیدیل سرین می‌باشد. Tim^۳ به عنوان گیرنده‌ی سلولی در سلول‌های APC بیان کننده‌ی Tim^۳ به فسفاتیدیل سرین موجود در سطح بیرونی غشای پلاسمایی سلول‌های آپوپوتیک باند می‌شود. سپس سلول‌های آپوپوتیک به یک فاگوزوم اسیدی منتقل می‌شوند و آنتیژن‌های آن‌ها پس از پردازش، به سلول‌های T ارایه می‌گردد؛ از این رو، تسهیل فاگوسیته شدن سلول‌های آپوپوتیک را خواهیم داشت (۷, ۸). عدم تعادل در پاسخ ایمنی، علت بسیاری از بیماری‌ها با مرگ و میر بالا به خصوص بیماری‌های خودایمنی است. از طرفی، پاسخ ایمنی مانع عملدهای در برابر پیوند موفق اعضا می‌باشد (۸, ۹). در بیماری‌های خودایمنی، بیماری‌های آتوپیک، عفونت‌های مزمن و سرطان، پاسخ‌های ایمنی نادرست و نامتعادل مشاهده شده است (۹).

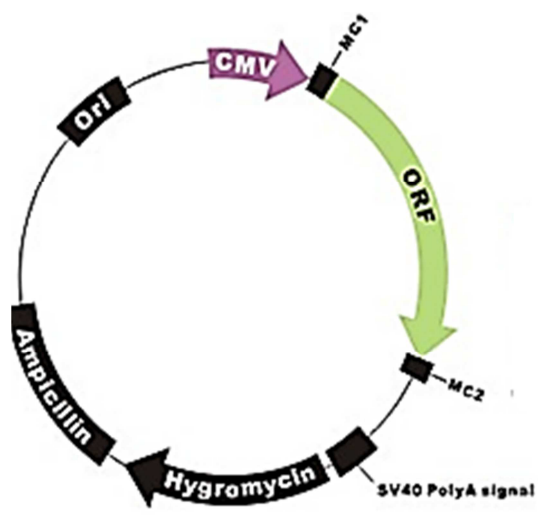
بسیاری از تحقیقات بر وجود ارتباط میان پلی‌مورفیسم‌های متعدد در ژن کد کننده‌ی Tim^۳ با ابتلا به بیماری‌های با واسطه‌ی ایمنی تأکید دارند (۲).

مقدمه

در بیماری‌های مختلف الگوی پاسخ ایمنی سلولی می‌تواند به نفع Th1 (T helper1) یا Th2 باشد. به عنوان مثال، فعال شدن بیش از حد Th1 در بیماری‌های خودایمنی عضو خاص و از دیاد حساسیت تأخیری رخ می‌دهد و پاسخ کترول نشده‌ی Th2 در بیماری‌هایی از قبیل آسم و آлерژی دیده می‌شود. به علاوه، سطح بالایی از Th17 در بیماری‌های خودایمنی و التهابی گزارش شده است (۱). با تنظیم بیان مولکول‌های نقاط وارسی ایمنی که شامل مولکول‌های کمک تحریکی و کمک مهاری سلول‌های T می‌باشند و امواج مثبت یا منفی را القا می‌کنند، می‌توان یک روش درمانی نوین برای جلوگیری از عملکرد خودبه‌خودی فعال شدن یا مهار شدن سلول‌های T ارایه نمود. با کشف خانواده‌ی (T-cell immunoglobulin and mucin domain) Tim نمونه‌ای از مولکول‌های نقاط وارسی ایمنی شناخته شد (۲). گلیکوپروتئین‌های خانواده‌ی Tim از موج پیتید، منطقه‌ی گذر غشایی، دمین موسین، دمین ایمونوگلوبین و دمین سیتوپلاسمیک تشکیل شده‌اند. این خانواده، شامل هشت عضو روی کروموزوم ۱۱ (ناحیه‌ی ۱۱p11/1) و ۳ عضو روی کروموزوم ۵ (ناحیه‌ی ۵q33/25) می‌باشند (۳). Tim^۳, عضو جدید خانواده‌ی Tim, شامل اگزون است که پروتئین ۳۰۱ اسید آمینه‌ای را کد می‌کند و در سطح سلول‌های تمايز یافته‌ی CD4⁺ CD8⁺, Th1 و Th17 بیان می‌شود (۴). بیان Tim^۳ در سلول‌های ایمنی ذاتی شامل ماستسل‌های NK (Natural killer)، ماکروفازها، سلول‌های NK (Natural killer)، مونوسیت و T (Natural killer T) NKT

روش‌ها

پلاسمید PEZ-M67 حاوی زن مقاومت به آنتی‌بیوتیک آمپیسیلین و هیگرومایسین، پرموتر ORF (Cytomegalovirus) CMV A (Open reading frame) Tim³ و موج پلی SV40 (Polyadenylation signal) PAS) یا (Simian vacuolating virus⁴⁰) ساخت شرکت Genecopoeia (USA) خریداری شد.



شکل ۱. نقشه‌ی ژنی پلاسمید PEZ-M67 حاوی Tim³

ترانسفورماسیون و تمایز کلون‌های باکتری دارای پلاسمید PEZ-M67

باکتری‌های Dam-LB (GM2163) در محیط Lysogeny broth (Lysogeny broth) حاوی ۱۰۰ µg/ml آمپیسیلین رشد داده شد. سپس با روش CaCl₂ و شوک حرارتی (Mandel and Higa) بر اساس پروتکل مندل و هیگا (Mandel and Higa) مستعد پذیرفتن پلاسمید نوترکیب شد و پلاسمید PEZ-M67 در آن ترانسفورم شد. کلون‌های رشد Colony PCR واکنش (Colony polymerase chain reaction) بررسی شد.

برای مثال، در مطالعات Kuchroo و همکاران در مدل‌های موشی EAE، Tim³ یک تنظیم کننده‌ی منفی پاسخ سلول‌های Th1 محسوب می‌شود؛ به طوری که بلوک Tim³-Tim^{3L} موجب تنظیم منفی IFNγ تولید شده توسط سلول‌های T و تشديد بیماری‌های خودایمنی می‌گردد (۱۵-۱۰).

نقش تعامل Tim³-Tim^{3L} در القای تحمل نیز به اثبات رسیده است؛ با توجه به داده‌های به دست آمده، با تجویز مهار کننده‌های Tim³، از عملکرد این پروتئین مهاری جلوگیری می‌شود و پاسخ‌های ایمنی در پیوند عضو و به دنبال آن، خطر پس زدن عضو پیوندی افزایش می‌یابد (۸-۵). همچنین حضور Tim³ در سلول‌های CD8⁺ خسته در بیماری‌های مزمن ایمنی مثل عفونت ویروسی و سرطان، نقش مهم این پروتئین را در سیستم ایمنی مشخص می‌سازد (۲۱-۱۶). به علاوه، در تحقیقات گوناگون این نتیجه حاصل شده است که در مدل‌های موشی آسم و بیماری‌های آتوپیک، اختلال عملکرد مولکول‌های Tim³ فنوتیپ بیماری را تغییر می‌دهد و موجب بهبودی علایم بیماری می‌گردد (۱۱، ۲۲).

نتایج مطالعات مختلف نشان می‌دهد که این پروتئین می‌تواند یک هدف مهم برای درمان بالقوه‌ی پاسخ‌های ایمنی باشد. برای شناخت بیشتر این پروتئین و ساخت آنتی‌بادی برای استفاده در تحقیقات، مقادیر زیاد Tim³ لازم است. بنابراین در پژوهش حاضر، بیان Tim³ در سطح سلول ۲۹۳T فرازیش یافت و از سلول نمایش دهنده‌ی این پروتئین می‌توان در فرایندهای ایمنی‌سازی استفاده نمود. هدف از این تحقیق، تهیه‌ی رده‌ی سلولی ۲۹۳T با بیان پایدار پروتئین Tim³ در سطح خود بود.

(۱) از Backbone با $2 \mu\text{l}$ بافر $10 \times 1 \mu\text{g}$, آنزیم T₄ DNA ligase در واکنش $20 \mu\text{l}$ با آنزیم F' لیگاز، Self-ligate شد و محصول Ligation در ' Ecoli. Top¹⁰ ترانسفورم شد. محصول به دست آمده در این مرحله پلاسمید (pH) pHygro بود.

به منظور تکثیر قطعه‌ی Tim^۲ موجود در پلاسمید PEZ-M^{۶۷}, طراحی آغازگرهای Forward و Reveres پرایمر از جمله طول پرایمر، دمای اتصال، عدم تشکیل دایمر و لوپ یا حلقه و سایر موارد با استفاده از نرمافزار Gene runner نسخه‌ی ۳/۰۵ انجام گرفت. همچنین برای سهولت در مراحل کلونیگ دو جایگاه برش آنزیم محدود کننده‌ی *NheI* و *MluI* که در پلاسمید pH نیز موجود است، در دو پرایمر در نظر گرفته شد. توالی پرایمرهای طراحی شده به صورت زیر بود:

AAAGCTAGCTGCCACCTGACGTCTA
AGA^۳: Forward Tim

ATTACCGCTTAAGATAACATTGATGA
GTTTGGAC^۳: Reveres Tim

قطعه‌ی مورد نظر توسط واکنش زنجیره‌ای پلیمراز و با استفاده از آنزیم pfu تکثیر شد. به منظور خروج ژن از پلاسمید نوترکیب و داخل نمودن آن به پلاسمید pH با جهت‌گیری صحیح، قطعه‌ی تکثیر شده و پلاسمید pH، توسط آنزیم‌های *NheI* و *MluI* در دو مرحله‌ی جداگانه با بافرهای مربوط، جهت هضم آنزیمی گذاشته شد. واکنش هضم در حجم $1 \mu\text{l}$ ۲۰۰ و به قرار زیر بود:

میزان $1 \mu\text{l}$ پلاسمید یا محصول PCR تمیز شده با کیت استخراج از ژل (Korea Bioneer)، $20 \mu\text{l}$ بافر اختصاصی آنزیم، $100 \mu\text{l}$ آب دو بار تقطیر و

واکنش Colony PCR توسط پرایمرهای طراحی شده‌ی زیر و مطابق با برنامه‌ی زمانی 95°C به مدت ۳ دقیقه و به دنبال آن 35 سیکل 95°C به مدت ۳۰ ثانیه، 58°C به مدت ۳۰ ثانیه، 72°C به مدت ۲ دقیقه و یک سیکل نهایی 72°C به مدت ۱۰ دقیقه انجام شد.

AAAATGTCGTAACAACCTCCGCC
۶۷:Primer forward PEZ-M

ACTCGAGCTATGGCATTGCAAAGCG
۶۷:Primer reverse PEZ-M

استخراج پلاسمید با دستورالعمل کیت استخراج پلاسمید Sol Gent Co kit (Korea) انجام گرفت و میزان خلوص و غلظت پلاسمید با دستگاه Nanodrop بررسی شد.

کلونینگ cDNA Tim^۲ در پلاسمید pH

پلاسمید pH، پلاسمیدی مشتق شده از PBGGT می‌باشد که کاست بیانی هیگرومایسین و ژن بتاگلوبین در آن کلون شده است. این پلاسمید به (Escherichia coli) Ecoli. Top¹⁰ F' ترانسفورم شد و استخراج پلاسمید انجام گرفت. هضم پلاسمید pH توسط آنزیم‌های SacI و XhoI انجام شد. سپس محصول هضم آنزیمی روی ژل آگارز الکتروفورز شد و باند مربوط به Backbone از روز ۴۶۰۰ bp طول ۱۵۰ از روی ژل بریده و توسط کیت Bioneer تخلیص شد. سپس Backbone پلاسمید با آنزیم pfu (Plaque-forming unit) به مدت ۵'Overhang ۱۵ دقیقه در دمای 72°C انکوبه شد تا حاصل از هضم آنزیمی، Blunt گردد. حاصل واکنش تهدید شده با pfu با کیت Clean up تمیز گردید. به منظور Self-ligation پلاسمید پیش‌گفته، $7 \mu\text{l}$

انستیتو پاستور تهران خریداری شد و در فلاسک T25 در محیط کشت DMEM (Dulbecco's modified eagle's medium) حاوی ۱۰ درصد FBS (Fetal bovine serum) و ۱ درصد پنیسیلین - استرپتومایسین در ۳۷ °C و در انکوباتور با CO₂ ۵ درصد انکوبه شد. حدود ۱۰^۵ × ۵ سلول در پلیت ۶ خانه کشت داده شد و بعد از ۲۴ ساعت با پلاسمید خطی ترانسفکت گشت. میزان ۲۱ µg پلاسمید خطی، ۳۰۴ µl ddH₂O و ۱۱ µl از بافر TE (Tris-EDTA)، ۳۵ µl از محلول کلسیم فسفات به محلول DNA اضافه شد و سپس ۳۵۰ µl بافر HBS2X به آرامی و تحت ورتكس با حداکثر سرعت به محلول DNA افروده گشت و روی کشت سلولی به صورت قطره قطره ریخته شد. بعد از ۴۸ ساعت، سلول‌ها به مدت ۴ هفته تحت تیمار با ۱۵۰ µg/ml هیگرومایسین قرار گرفتند.

بررسی بیان Tim^۳ توسط سلول‌های T۲۹۳

ترانسفکت شده با پلاسمید نوترکیب

DNA ژنومیک از یک میلیون سلول T۲۹۳ که تحت درمان با هیگرومایسین باقی مانده بودند، توسط کیت مربوط (Genet bio, USA) استخراج شد و به منظور ارزیابی الحاق Tim^۳ در DNA ژنومیک، توسط PCR واکنش زنجیره‌ای پلیمراز تکثیر گشت. برنامه‌ی PCR شامل ۹۷ °C به مدت ۳ دقیقه، ۹۷ °C به مدت ۳۰ ثانیه، ۵۸ °C در ۳۰ ثانیه، ۷۲ °C در ۸۰ ثانیه و در نهایت ۷۲ °C طی ۱۰ دقیقه در ۳۰ سیکل انجام گرفت. درصد سلول‌هایی که پس از انجام ترانسفکشن موفق به دریافت Tim^۳ cDNA شده بودند، توسط تکنیک فلوسایتومتری و با استفاده از آنتی‌بادی Tim^۳ Anti Tim^۳ کونژوگه شده با PE

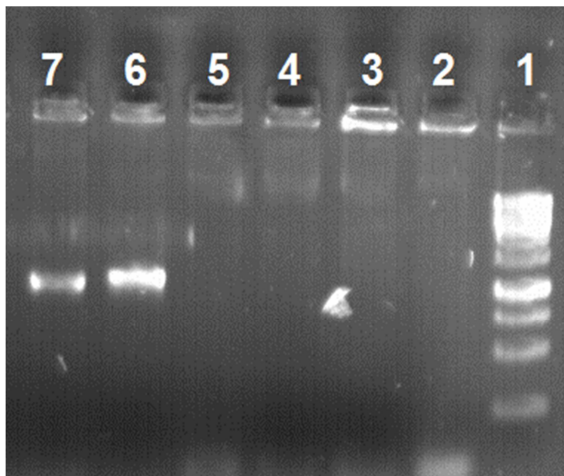
۵ µl آنزیم NheI و MluI مخلوط و به مدت ۴ ساعت در دمای ۳۷ °C انکوبه گردید. سپس محصول هضم آنزیمی از روی ژل ۱ درصد آگارز بریده شد و قطعه‌ی مورد نظر از ژل استخراج گردید. واکنش Ligation با استفاده از آنزیم PCR با استفاده از ۱۵ µl قطعه‌ی Tim^۳ تکثیر و هضم شده و ۴ µl پلاسمید p-H خطی شده، ۳ µl بافر (Polyethylene glycol) PEG ۳ ۱۰x T4 ligase و ۴ µl آب استریل انجام شد و محصول با Ecoli TOP10 به CaCl₂ روش بسکترونیک انجام شد.

صحت کلونینگ به روش Colony PCR با استفاده از پرایمرهای اختصاصی ژن Tim^۳ بررسی شد. غلظت عوامل PCR شامل PR ۱ µl، PF ۱ µl، Nucleoside dNTP ۰/۵ µl، MgCl₂ ۱ µl Buffer ۲/۵ µl، (triphosphate taq ۰/۲ µl) تحت برنامه‌ی PCR شامل ۹۵ °C به مدت ۴ دقیقه، ۹۴ °C به مدت ۳۰ ثانیه، ۵۸ °C به مدت ۳۰ ثانیه، ۷۲ °C به مدت ۵ دقیقه در ۳۰ سیکل انجام گرفت. بررسی محصول نهایی PCR با الکتروفورز روی ژل آگارز، رنگ‌آمیزی با اتیدیوم بروماید و مشاهده‌ی آن با دستگاه ترانس لومیناتور UV (Ultraviolet) و نشانگر ۱ kb (Ultraviolet) انجام شد. در نهایت، پلاسمید با آنزیم NheI هضم گردید و پلاسمید pH-Tim^۳ خطي از ژل آگارز استخراج گردید.

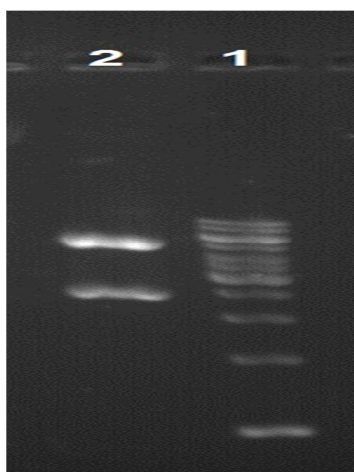
کشت و ترانسفکشن پلاسمید نوترکیب Tim^۳ T۲۹۳

به رده‌ی سلولی T۲۹۳

سلول‌های T۲۹۳ (رده‌ی سلولی کلیه‌ی جنین انسان) در سطح سلول T۲۹۳ (رده‌ی سلولی کلیه‌ی جنین انسان) از ترانسفورم شده با T آنتی ژن ویروس SV40 از

شکل ۲. تأیید صحت مراحل کلون کردن cDNA Tim³ در**Colony PCR** بر اساس نتایج واکنش

پلاسمید pH³ ستونهای ۱، ۴، ۳، ۲ و ۵: کلونی‌هایی که متغیر بودند. ستونهای ۶ و ۷: کلونی‌های مثبت که باند ۱۱۰۰ مربوط به cDNA Tim³ را داشتند.

شکل ۳. الگوی الکتروفورزی هضم آنزیمی پلاسمید نوترکیب pH-Tim³**H-Tim**
ستون ۱: نشانگر ۱ Kb

ستون ۲: پلاسمید نوترکیب pH-Tim³ که با آنزیم‌های NheI و MluI هضم شده است و باند ۲۲۱۲ bp و ۴۶۰۰ bp دیده می‌شود.

انتخاب سلول‌ها در محیط حاوی هیگرومایسین
تصویر سلول‌های ترانسفکت شده در زمان شروع و بعد از دو هفته تیمار با هیگرومایسین در شکل ۴ آمده است.

Biolegend ۳۴۰۰۵) (Phycoerythrin) و ایزوتاپ (Biolegend ۴۰۰۱۱) سنجش شد.

به طور خلاصه، حدود ۱۰^۶ سلول با مقدار ۵ µl از Anti Tim³ آنتی‌بادی کونزروگه شده و آنتی‌بادی ایزوتاپ مناسب به مدت ۲۰ دقیقه در ۲ تیوب مجزا، در اتفاق تاریک انکوبه شد. نمونه‌ها پس از شستشو با PBS، از طریق دستگاه فلوسیتومتری (Facs Calibour, USA) آنالیز شدند.

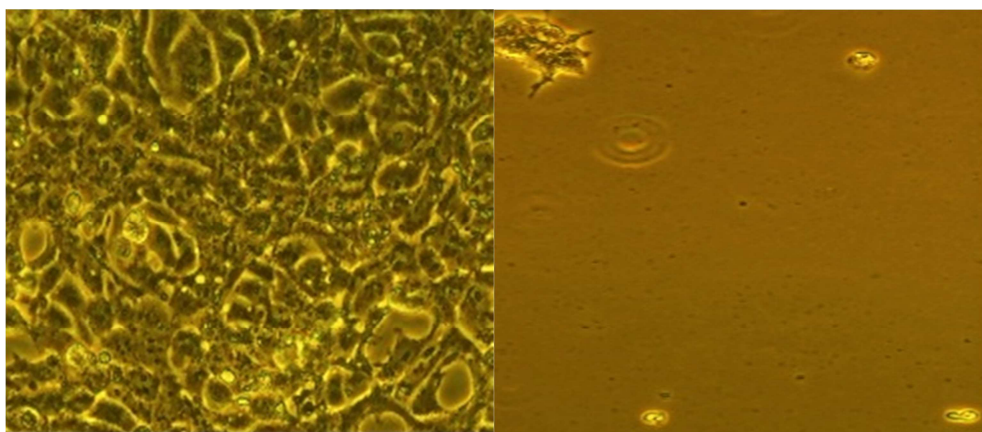
یافته‌ها

پلاسمید حاوی ژن Tim³ تهیه شده (PEZ-M67)، تنها با آنزیم Eco³¹I خطی می‌شد و این آنزیم فعالیت مناسبی نداشت. بنابراین ژن Tim³ تکثیر شد و از پلاسمید PEZ-M67 به پلاسمید دیگری به نام pH متنقل گردید که حاوی سایت‌های آنزیمی بیشتر و در دسترس تر بود.

ترانسفورماسیون محصول Ligation بین کاست Tim³ و پلاسمید pH خطی شده

در این مرحله، ۱۰ کلونی از کلونی‌های رشد یافته برای تهیه ماتریکس انتخاب شدند که از بین آنها، کلونی‌هایی گزینش شدند. استخراج پلاسمید و واکنش زنجیره‌ای پلیمراز در مورد این کلونی‌ها انجام گرفت. نمونه‌ای از محصول Colony PCR در شکل ۲ آمده است.

هضم آنزیمی پلاسمیدهای استخراج شده از این کلونی‌ها توسط آنزیم‌های MluI و NheI انجام گرفت که ۲ باند حاصل از برش آنزیم در سایت‌های آنزیمی کلونی‌های دریافت کننده پلاسمید نوترکیب مشاهده شد و وجود پلاسمید نوترکیب در کلونی‌های باکتری تأیید گردید (شکل ۳).



شکل ۴. سلول‌های HEK ۲۹۳T

A: قبل از درمان با هیگرومایسین B: دو هفته پس از درمان با هیگرومایسین

نتایج فلوسایتوometری

نتایج فلوسایتوومتری، میزان بیان ۸۸ درصدی Tim³ در سطح سلول‌های ترانسفکت شده در ۱۴ روز بعد از ترانسفکشن سلول‌ها را آشکار می‌کند.

نتایج حاصل افزایش محسوسی را در سطح بیانی در سلول‌های ۲۹۳T ترانسفکت شده با وکتور پلاسمیدی در مقایسه با سطح بیانی پایه‌ی Tim³ در گروه شاهد در سلول‌های ۲۹۳T نشان می‌دهد که مؤید بیان معنی‌دار Tim³ در گروه ترانسفکت شده است ($P \leq 0.050$).

موارد در جداول ۶ و ۷ قابل مشاهده است.

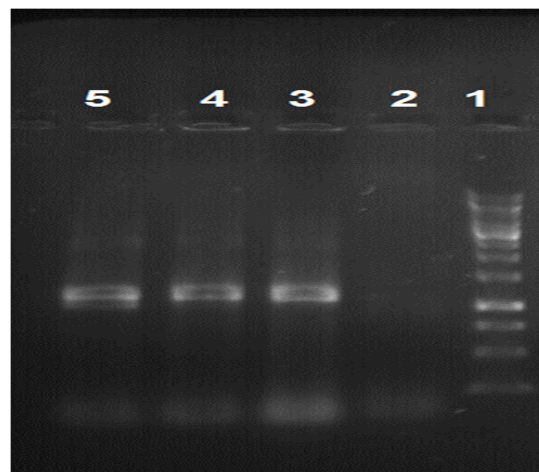
بحث

همزمان با کشف پروتئین‌های جدید، تحقیقات وسیعی در زمینه‌ی شناسایی عملکرد پروتئین شروع شد و در همه‌ی این تحقیقات، به پروتئین خالص به مقدار زیاد برای بررسی ساختار، فعالیت بیوشیمیایی و خصوصیات بیوفیزیکی آن نیاز است.

Tim³ گلیکوپروتئین سطح سلولی است و برای داشتن پروتئین با عملکرد و خصوصیات بیوشیمیایی

نتیجه‌ی PCR روی ژنوم سلول ترانسفکت شده

انجام واکنش PCR روی ژنوم سلول ترانسفکت شده، باند مربوط به قطعه‌ی cDNA Tim³ به طول ۱۱۰۰ جفت باز را نشان داد (شکل ۵) که حاکی از دریافت و ایتگره شدن ژن درون سلول ۲۹۳T می‌باشد.



شکل ۵. الگوی الکتروفورزی محصول PCR

(Polymerase chain reaction) روی ژنوم سلول ترانسفکت

شده‌ی حاوی قطعه‌ی ژن Tim³ و نمونه‌ی شاهد

ستون ۱: نشانگر ۱ Kb

ستون ۲: شاهد منفی روی ژنوم ۲۹۳T ترانسفکت نشده

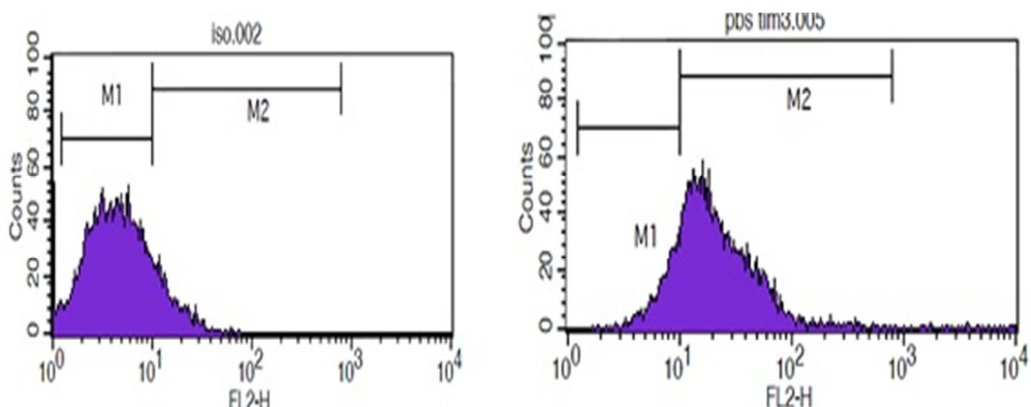
ستون‌های ۳ تا ۵: تکثیر cDNA Tim³ روی ژنوم سلول ۲۹۳T

ترانسفکت با cDNA Tim³

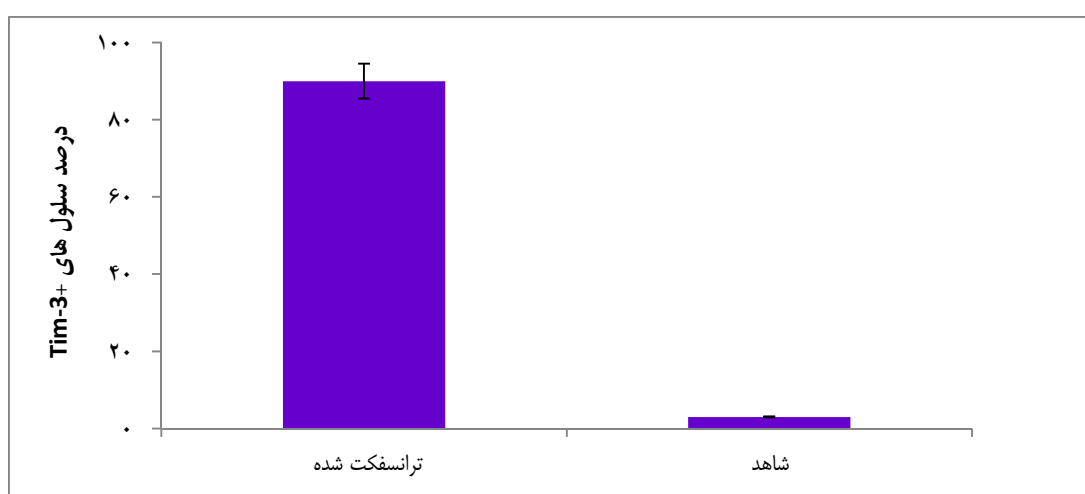
CHO امری اجتناب ناپذیر است.

در بعضی از تحقیقات، پروتئین با ساختار فضایی به طور کامل طبیعی نیاز است. برای مثال، در مورد پروتئین‌های غشایی مانند Tim³، پروتئین خالص شده از غشا یا پروتئین نوترکیب خالص نیز گاهی ساختار فضایی طبیعی را که پروتئین در موقع لنگر اندادختن بر سطح غشا دارد، از دست می‌دهد و برای استفاده در برخی تحقیقات بررسی عملکرد یا حتی برای تهییه آنتی‌بادی‌هایی که اپی‌توپ‌های فضایی را می‌شناسند، مناسب نخواهد بود.

و ساختار فضایی مناسب، باید در سیستم‌های بیانی رده‌ی سلولی پستانداران بیان و تخلیص شود. با این که بیان در سیستم‌های بیانی پروکاریوت‌ها از نظر زمان و هزینه، اقتصادی‌تر از سیستم‌های سلول‌های یوکاریوتی می‌باشد، اما متأسفانه در مورد پروتئین‌های دارای تغییرات پس از ترجمه مانند فسفریلاسیون و گلیکوزیلاسیون، این سیستم بیانی جوابگو نیست؛ چرا که این تغییرات، در ساختار فضایی، عملکرد و خصوصیات آنتی‌ژنیک این پروتئین‌ها تأثیر دارد. از این رو، استفاده از سلول‌های رده‌ی پستانداران مانند



شکل ۶. نمودار فلوسایتومتری بیان پروتئین Tim³ در سلول‌های ترانسفکت شده و سلول‌های ۲۹۳T ترانسفکت نشده



شکل ۷. میزان نسبی بیان Tim³ برگرفته از آزمایش‌های متعدد فلوسایتومتری

در مطالعات انجام گرفته، محققان که در جستجوی کلونی‌های سلولی وابسته به Th1 بودند، Tim^۳ در سطح سلول‌های Th1 به عنوان نشانگر ویژه‌ی سطح سلولی شناخته شد (۲۴-۲۳).

در تحقیقی مشابه که توسط Chen و همکاران به منظور بررسی عملکرد پروتئین Tim^۳ نوترکیب در سلول‌های آپوپتویک انجام گرفت، از وکتور بیانی پروکاریوتیک pET28a-TIM³-EGFP استفاده شد. در این مطالعه، با جمع‌آوری RNA ژن Tim^۳ از cDNA نمونه‌ی خون محیطی انسان، کتابخانه‌ی ساخته شد و با ادغام قطعه‌ی TIM³-EGFP در پلاسمید، کلونینگ در سویه‌ی B21 Ecoli انجام شد و به منظور بررسی عملکرد Tim^۳ در روند آپوپتوز، از این فیوژن پروتئین استفاده شد (۲۵).

با توجه به نیاز پروتئین GFP (Green fluorescent protein) به عنوان یک سیستم ناظارت، به استفاده از میکروسکوپ فلوروسنس و همچنین حساسیت پایین آن در تشخیص سلول‌های مجرزا و محدودیت کاربرد در مطالعات In vivo، همچنین استفاده از برچسب His⁶ (Hexahistidine)، ممکن است در بیان پروتئین اختلال ایجاد کند.

در پژوهش حاضر، پروتئین غشایی تولید شد که بی‌نیاز از فرایندهای خالص‌سازی و پروتئین‌هایی نظیر GFP می‌باشد. در مطالعات قبلی، فرم ترشحی این پروتئین تولید شده بود. با وجود این پروتئین‌های غشایی درصد بالایی از پروتئین‌های سلول را شامل می‌شوند و تولید انبوه این پروتئین‌ها حائز اهمیت است. بنابراین تولید فرم غشایی به میزان انبوه، می‌تواند گام مهمی در تحقیقات مربوط باشد. استفاده از سلول ۲۹۳T به

از مزیت‌های استفاده از این سلول، داشتن ساختار فضایی طبیعی‌تر و وجود ابی‌توب‌های فضایی است که ممکن است در پروتئین نوترکیب یا خالص شده از غشای سلول وجود نداشته باشد.

با توجه به عدم نیاز پروتئین‌های نمایش داده شده در سطح سلول به فرایندهای تخلیصی، بسیار مقرنون به صرفه‌تر از پروتئین نوترکیب می‌باشند. آنتی‌بادی‌ها یا نانوبادی تولیدی حاصل از تزریق این پروتئین‌ها به حیوانات آزمایشگاهی، می‌تواند به منظور درمان و تشخیص بیماری‌ها به کار گرفته شود.

در مورد تحقیقات تهیه‌ی آپتامر بر ضد آنتی‌ژن‌های پروتئینی نیز اگر از روش ستون‌های کروماتوگرافی که آنتی‌ژن بر روی آن کونشوگه می‌شود، استفاده گردد، خرید ستون‌های گران قیمت و مقادیر بالای پروتئین نوترکیب لازم است. در روش Cell SELEX به جای استفاده از ستون کروماتوگرافی، از سلول‌هایی که آنتی‌ژن را بر سطح خود نمایش می‌دهند استفاده می‌گردد و با این کار، پژوهه‌ی انتخاب آپتامر بسیار ارزان‌تر و در آزمایشگاه‌هایی که از نظر HPLC تجهیزات پیش‌رفته مانند (High-performance liquid chromatography)

محروم هستند، قابل انجام می‌باشد.

این تحقیق، با هدف تهیه‌ی نانوبادی و انتخاب آپتامر علیه پروتئین Tim^۳ انجام شد. از این رو، سلول با بیان بالای Tim^۳ در سطح آن نیاز بود. ساخت آپتامر با استفاده از این پروتئین بیان شده، امکان عوارض ناخواسته‌ی دارویی ناشی از واکنش‌های ایمنی را کاهش می‌دهد.

لوكوس ژنی مولکول‌های Tim^۳ اولین بار در موش‌های Balb/c مستعد ابتلا به آسم آشکار گشت.

مورد نظر میسر گردد.

تشکر و قدردانی

این مقاله حاصل پایان‌نامه‌ی دوره‌ی کارشناسی ارشد مونا مبلغ ناصری به شماره‌ی ۳۹۲۵۳۲ در دانشگاه علوم پزشکی اصفهان است.

دلیل سهولت انجام ترانسفکشن و رشد سریع، انتخاب مناسبی است. از این‌رو، در این مطالعه Tim³ سازه‌ای طراحی شده است تا بتوان پروتئین^۳ را در سلول یوکاریوتی کلون کرد و در نتیجه‌ی ادغام سازه‌ی بیانی انتقال یافته در DNA ژنومی سلول‌های هدف ۲۹۳T، بیان طولانی مدت از ژن

References

- Meyers JH, Sabatos CA, Chakravarti S, Kuchroo VK. The TIM gene family regulates autoimmune and allergic diseases. *Trends Mol Med* 2005; 11(8): 362-9.
- Anderson AC, Anderson DE. TIM-3 in autoimmunity. *Curr Opin Immunol* 2006; 18(6): 665-9.
- Kuchroo VK, Dardalhon V, Xiao S, Anderson AC. New roles for TIM family members in immune regulation. *Nat Rev Immunol* 2008; 8(8): 577-80.
- Li S, Peng D, He Y, Zhang H, Sun H, Shan S, et al. Expression of TIM-3 on CD4+ and CD8+ T cells in the peripheral blood and synovial fluid of rheumatoid arthritis. *APMIS* 2014; 122(10): 899-904.
- Yeung MY, McGrath M, Najafian N. The emerging role of the TIM molecules in transplantation. *Am J Transplant* 2011; 11(10): 2012-9.
- Nagahara K, Arikawa T, Oomizu S, Kontani K, Nobumoto A, Tateno H, et al. Galectin-9 increases Tim-3+ dendritic cells and CD8+ T cells and enhances antitumor immunity via galectin-9-Tim-3 interactions. *J Immunol* 2008; 181(11): 7660-9.
- Yan J, Zhang Y, Zhang JP, Liang J, Li L, Zheng L. Tim-3 expression defines regulatory T cells in human tumors. *PLoS One* 2013; 8(3): e58006.
- Rodriguez-Manzanet R, DeKruyff R, Kuchroo VK, Umetsu DT. The costimulatory role of TIM molecules. *Immunol Rev* 2009; 229(1): 259-70.
- Lee J, Phong B, Egloff AM, Kane LP. TIM polymorphisms--genetics and function. *Genes Immun* 2011; 12(8): 595-604.
- Su EW, Lin JY, Kane LP. TIM-1 and TIM-3 proteins in immune regulation. *Cytokine* 2008; 44(1): 9-13.
- Vega-Carrascal I, Reeves EP, McElvaney NG. The role of TIM-containing molecules in airway disease and their potential as therapeutic targets. *J Inflamm Res* 2012; 5: 77-87.
- Chae SC, Park YR, Shim SC, Yoon KS, Chung HT. The polymorphisms of Th1 cell surface gene Tim-3 are associated in a Korean population with rheumatoid arthritis. *Immunol Lett* 2004; 95(1): 91-5.
- Kuchroo VK, Umetsu DT, DeKruyff RH, Freeman GJ. The TIM gene family: emerging roles in immunity and disease. *Nat Rev Immunol* 2003; 3(6): 454-62.
- Pan HF, Zhang N, Li WX, Tao JH, Ye DQ. TIM-3 as a new therapeutic target in systemic lupus erythematosus. *Mol Biol Rep* 2010; 37(1): 395-8.
- Li X, Zhao YQ, Li CW, Yuan FL. T cell immunoglobulin-3 as a new therapeutic target for rheumatoid arthritis. *Expert Opin Ther Targets* 2012; 16(12): 1145-9.
- Freeman GJ, Casasnovas JM, Umetsu DT, DeKruyff RH. TIM genes: a family of cell surface phosphatidylserine receptors that regulate innate and adaptive immunity. *Immunol Rev* 2010; 235(1): 172-89.
- McMahan RH, Golden-Mason L, Nishimura MI, McMahon BJ, Kemper M, Allen TM, et al. Tim-3 expression on PD-1+ HCV-specific human CTLs is associated with viral persistence, and its blockade restores hepatocyte-directed *in vitro* cytotoxicity. *J Clin Invest* 2010; 120(12): 4546-57.
- Sakuishi K, Jayaraman P, Behar SM, Anderson AC, Kuchroo VK. Emerging Tim-3 functions in antimicrobial and tumor immunity. *Trends Immunol* 2011; 32(8): 345-9.
- Ngiow SF, von SB, Akiba H, Yagita H, Teng MW, Smyth MJ. Anti-TIM3 antibody promotes T cell IFN-gamma-mediated antitumor immunity and suppresses established tumors. *Cancer Res* 2011; 71(10): 3540-51.
- Block MS, Markovic SN. The tumor/immune interface: clinical evidence of cancer immunosurveillance, immunoediting and immunosubversion. *Am J Immunol* 2009; 5(1): 29-49.
- Zhuang X, Zhang X, Xia X, Zhang C, Liang X,

- Gao L, et al. Ectopic expression of TIM-3 in lung cancers: a potential independent prognostic factor for patients with NSCLC. Am J Clin Pathol 2012; 137(6): 978-85.
- 22.** Chae SC, Park YR, Lee YC, Lee JH, Chung HT. The association of TIM-3 gene polymorphism with atopic disease in Korean population. Hum Immunol 2004; 65(12): 1427-31.
- 23.** Monney L, Sabatos CA, Gaglia JL, Ryu A, Waldner H, Chernova T, et al. Th1-specific cell surface protein Tim-3 regulates macrophage activation and severity of an autoimmune disease. Nature 2002; 415(6871): 536-41.
- 24.** McIntire JJ, Umetsu SE, Akbari O, Potter M, Kuchroo VK, Barsh GS, et al. Identification of Tapr (an airway hyperreactivity regulatory locus) and the linked Tim gene family. Nat Immunol 2001; 2(12): 1109-16.
- 25.** Chen Z, Qing J, Qin G, Hu L. Construction and characterization of bifunctional TIM-3-EGFP fusion proteins. Protein Expr Purif 2012; 86(1): 1-6.

Producing Recombinant HEK293 T-cells with High Expression of T-cell Immunoglobulin and Mucin Domain-3 (Tim3) Protein

Mona Moballegh-Naseri¹, Hosein Khanahmad PhD², Vida Homayouni MSc³, Mazdak Ganjalikahni-Hakemi PhD⁴, Mansour Salehi PhD², Ilnaz Rahim-Manesh¹, Razieh Taghizadeh¹, Mahsa Kolahdooz¹

Original Article

Abstract

Background: T-cell immunoglobulin and mucin domain-3 (Tim3) is known as a marker of cell surface of T-helper-1 (Th1) cell and has a key role in many diseases with cell-mediated immunity. Over expression of Tim3 has reported in autoimmune and atopic diseases. Though, many studies done about this inhibitory help protein molecules, but yet need more research. In research project on Tim3, native protein with proper post translation modification should be provided. In this study, Tim3 was expressed on the surface of HEK293 T-cell line.

Methods: Tim3 expression cassette was amplified from cDNA clone EX-W2682-M67 via polymerase chain reaction (PCR). The PCR product and pHygro plasmid were digested by NheI and MluI restriction enzymes. The linearized pHygro and digested PCR product were ligated together with T4 DNA ligase and transformed into Escherichia coli TOP 10 F'. The resulted pH-Tim3 plasmid was linearized with NheI and transfected into 293T cell line. The transfected cells were positive selected with hygromycin and their genomic DNA was extracted and PCR was done on them to amplify complementary DNA (cDNA) of Tim3. Also, protein expression levels were assessed via flow cytometry.

Findings: The result of PCR on selected cells confirmed integratioin of cDNA clone of Tim3 in genomic DNA. Based on flow cytometry, about 88% of cells were expressed Tim3 sharply.

Conclusion: In order to understand the role and mechanism of Tim3 protein, we need a large amount of purified native Tim3. Prokaryotic expression systems are simpler and cheaper than eukaryotic expression system, but they are not proper system for expression of proteins that modified after translation. Expression of membrane proteins like Tim3 on the surface of cell has even more native conformation in comparison with recombinant Tim3. The cells display Tim3 could be used in antibody, nanobody or aptamer production projects. In this project, we constructed a 293T cell which overexpressed Tim3 on its surface compared to untransfected ones.

Keywords: T-cell immunoglobulin and mucin domain (Tim3), 293T, Recombinant cell

Citation: Moballegh-Naseri M, Khanahmad H, Homayouni V, Ganjalikahni-Hakemi M, Salehi M, Rahim-Manesh I, et al. **Producing Recombinant HEK293 T-cells with High Expression of T-cell Immunoglobulin and Mucin Domain-3 (Tim3) Protein.** J Isfahan Med Sch 2015; 32(317): 2312-23

1- MSc Student, Department of Genetics and Molecular Biology, School of Medicine AND Student Research Committee, Isfahan University of Medical Sciences, Isfahan, Iran

2- Assistant Professor, Department of Genetics and Molecular Biology, School of Medicine, Isfahan University of Medical Sciences, Isfahan, Iran

3- PhD Student, Department of Immunology, School of Medicine, Isfahan University of Medical Sciences, Isfahan, Iran

4- Assistant Professor, Department of Immunology, School of Medicine, Isfahan University of Medical Sciences, Isfahan, Iran

Corresponding Author: Hosein Khanahmad PhD, Email: hossein_khanahmad@yahoo.com